

Flujos Granulares 3D: Caída de una bala de cañón

Alumnos

Tomas Dorado, 56594

Tomas Dallas, 56436

Grupo 6



Introducción



Introducción

- Se estudió el comportamiento de flujos granulares tridimensionales, en particular: la caída de una bala de cañón sobre un lecho granular.
- Se realizaron distintas simulaciones parametrizando las corridas para analizar las ventajas y desventajas del modelo propuesto.



Sistema real - Fundamentos

- El sistema propuesto consiste de un cajón cuadrado lleno de partículas de distintos tamaños y centrada en el mismo, impacta una bala de cañón sobre las partículas.
- Las partículas colisionan entre sí en las 3 dimensiones definidas, como así también con las paredes que las contienen y la misma bala.
- Cuando una partícula colisiona con otra partícula o una pared se ejerce una fuerza en sentido normal y otra en sentido tangencial al trayecto de la misma que, en consecuencia, modifica la energía cinética de ella.

Sistema real - Ecuaciones

Fuerzas de las colisiones

$$\overline{Fn}_{ij} = -k_n \xi - \gamma \hat{v}_{ij}^n \quad (1)$$

$$\overline{Ft}_{ij} = -k_t \xi \quad (2)$$

$$\hat{v}_{ij}^n = \overline{v}_{ij} \cdot \hat{r}_{ij} \quad (3)$$

$$\overline{F}_{ij} = \overline{Fn}_{ij} \cdot \hat{r}_{ij} + \overline{Ft}_{ij} \cdot \hat{v}_{ij} \quad (4)$$

siendo: $\hat{v}_{ij}^t = \overline{v}_{ij} - \hat{v}_{ij}^n \cdot \hat{r}_{ij}$ el cálculo del versor $\hat{v}_{ij}^t = \frac{\overline{v}_{ij}^t}{|\overline{v}_{ij}^t|}$, la velocidad relativa

$\overline{v}_{ij} = \overline{v}_i - \overline{v}_j$, el versor normal $\hat{r}_{ij} = \frac{\overline{r}_{ij}}{|\overline{r}_{ij}|}$ y por último $\overline{r}_{ij} = \overline{r}_i - \overline{r}_j$

Fuerza de gravedad

$$\overline{Fg}_i = m_i \overline{g}$$

Total de fuerzas

$$\overline{F}_i = \overline{Fg}_i + \sum_j \overline{F}_{ij} \quad (5)$$

Aceleración dada por la segunda ley de Newton

$$\overline{a}_i = \frac{\overline{F}_i}{m_i} \quad (6)$$



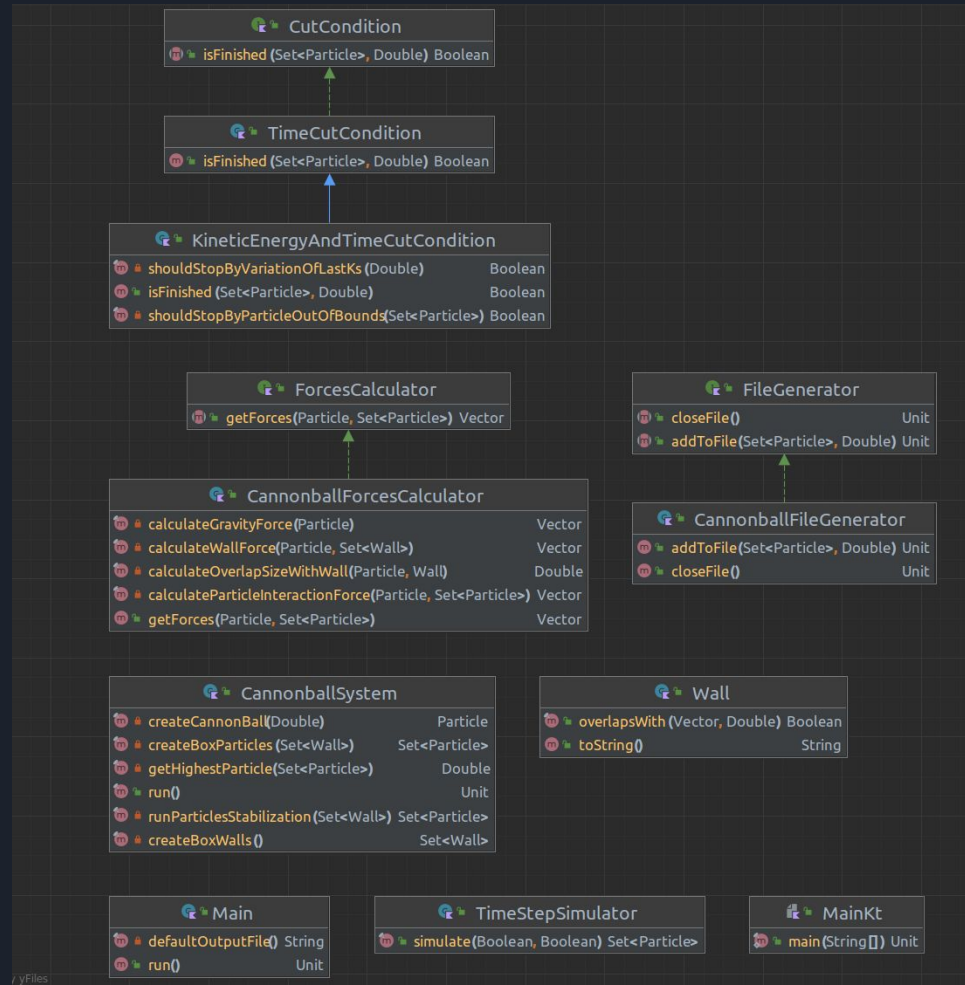
Implementación



Implementación

- Se implementó el simulador en Kotlin, el post-procesamiento en Python y las animaciones en Ovito.
- Cada simulación genera un archivo de salida con formato .xyz con los datos de las partículas en cada instante de tiempo.
- La implementación en Kotlin se implementó separada en dos capas: engine y system.
- En engine se encuentra toda la implementación del motor de simulaciones dirigidas por el paso temporal.
- En system se encuentra toda la implementación para el sistema particular de este trabajo.
- Se utilizó el método de integración Beeman con la variación predictor-corrector que es mejor para sistemas con partículas que dependen de la velocidad.
- Para el post procesamiento se implementó un parser del archivo en .xyz para luego visualizarlo mediante matplotlib.

Implementación - UML



Implementación - Pseudocódigo

Ejecución de simulación

```
fun simulate() : Set<Particle> {  
    fileGenerator.addToFile(particles, time)  
    while (!cutCondition.isFinished(particles, time)) {  
        val newParticles = particles.forEach(particle -> applyBeemanIntegrator(particle))  
        time += timeDelta  
        if (time >= timeToSave) {  
            fileGenerator.addToFile(particles, time)  
        }  
    }  
}
```

Cálculo de fuerzas para cada partícula

```
override fun getForces(particle: Particle, neighbours: Set<Particle>): Vector {  
    val interactionForce = calculateParticleInteractionForce(particle, neighbours)  
    val wallForce = calculateWallForce(particle, walls)  
    val gravityForce = calculateGravityForce(particle)  
  
    return interactionForce + wallForce + gravityForce  
}
```

A decorative graphic on the left side of the slide consisting of two overlapping parallelograms. The front one is blue and the back one is light green. They are positioned diagonally, with the blue one partially covering the green one.

Simulaciones



Simulaciones

- Las partículas se generan de forma aleatoria con un diámetro distribuido uniformemente entre $[p_{\text{LowDiam}}, p_{\text{UpperDiam}}]$. Se simula la caída de las partículas sin la bala para permitir estabilizarse el sistema antes de agregar la caída de la bala.
- Una vez que el sistema se estabilizó, se agrega la bala al mismo con las partículas en la posición posterior a la estabilización. Todas las partículas comienzan con la posición y velocidad que tenían al momento de estabilizarse.
- La bala se dispara a una altura h definida con el punto $P=(\text{ladoDelCajon}/2, \text{ladoDelCajon}/2, \text{puntoDeLaParticulaConMayorAltura} + 0.1)$. Es decir, centrada en x e y respecto del cajón y a una altura igual al punto en z de la partícula que se encuentra a una mayor altitud más 0.1 mts.
- La condición de corte de simulación tiene 2 parámetros: un tiempo final y/o variación de energía cinética haciendo un promedio en las últimos 1000 dT y comparando con la energía cinética actual.



Simulaciones - Parámetros

$$d_t = 5E-5$$

$$n_{\text{particles}} = 2000$$

$$\text{mass} = 0.085 \text{ kg}$$

$$p_{\text{LowDiam}} = 0.015 \text{ m}$$

$$p_{\text{UpperDiam}} = 0.03 \text{ m}$$

$$p_{K_n} = 2E6 \text{ N/m}$$

$$p_{K_t} = 2 * p_{K_n}$$

$$p_{\text{Gamma}} = 100$$

$$\text{wall}_{K_n} = p_{K_n}$$

$$\text{wall}_{K_t} = 2 * \text{wall}_{K_n}$$

$$d_{t2} = 0.001$$

$$\text{ball}_{\text{mass}} = 17.5 \text{ kg}$$

$$\text{ball}_{K_n} = p_{K_n}$$

$$\text{ball}_{K_t} = 2 * \text{ball}_{K_n}$$

$$\text{ball}_{\text{Gamma}} = 50$$

$$\text{ball}_{\text{Angle}} = 90 \text{ grados}$$

$$\text{ball}_{\text{Velocity}} = 20 \text{ m/s}$$

$$\text{ball}_{\text{diameter}} = 0.175 \text{ m}$$

$$\text{gravity} = 9.81 \text{ m/s}^2$$

$$\text{box}_{\text{width}} = 0.4 \text{ m}$$



Simulaciones - Observable

- Se definen como observables las siguientes métricas:
 - Energía cinética del sistema hasta la estabilización
 - Velocidad de la bala en el tiempo hasta la estabilización
 - Tiempo de estabilización vs gamma
 - Tiempo de estabilización vs n_{particle}
 - Tiempo de estabilización vs ángulo de caída de la bala
 - Tiempo de estabilización vs diámetros de las partículas
- Para cada simulación se realizaron 5 repeticiones (debido al largo tiempo de ejecución de cada una, aproximadamente entre 2 a 3 hs cada 5 repeticiones)
- Para cada tiempo de estabilización vs parámetro se grafican el promedio con su desvío en barras.
- Se define energía cinética de la partícula p_j cómo:
- La energía cinética del sistema es la sumatoria de energías.
- Para todas las simulaciones el color que tienen las partículas es la presión que se ejerce sobre ella.

$$K = \frac{m_{p_j} \cdot v_{p_j}^2}{2}$$

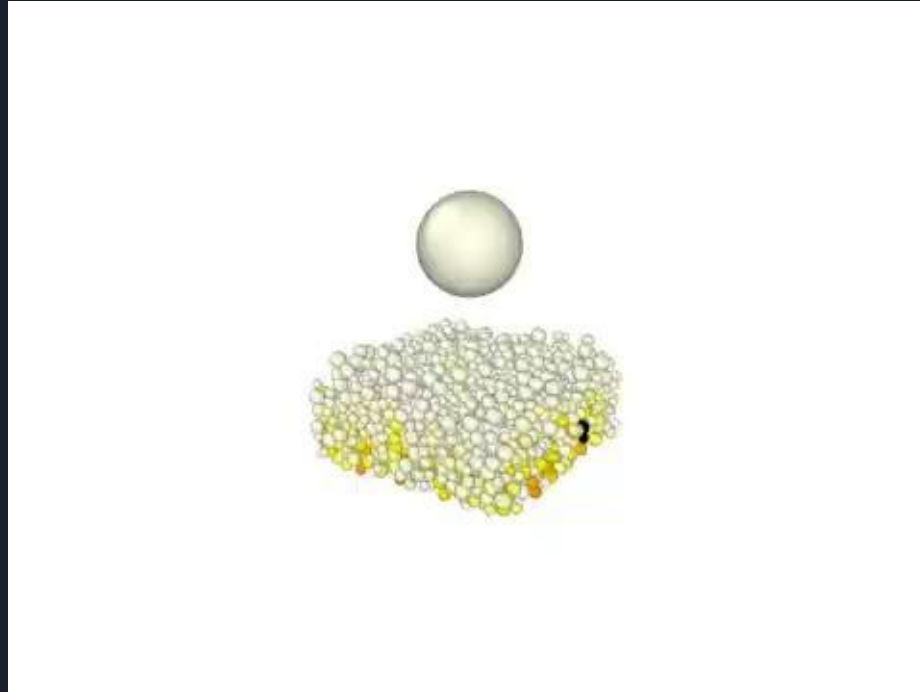


Resultados

Resultados - Animaciones

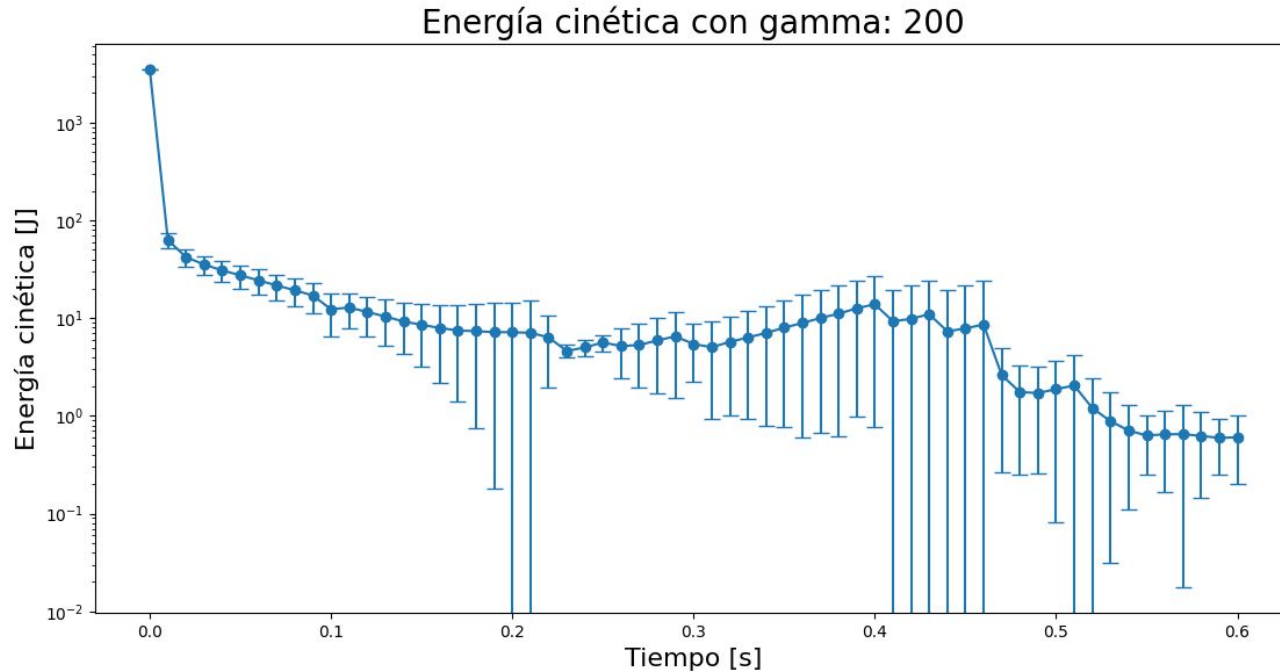
Variación de p_{gamma} = [100, 125, 150, 175, 200, 225, 250, 275, 300]

$p_{\text{gamma}} = 200$



Resultados - Observable

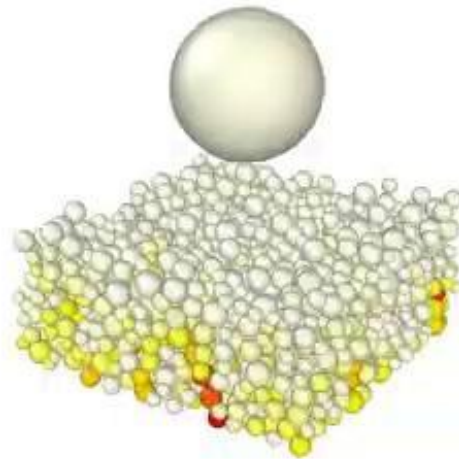
Variación de p_{gamma} = [100, 125, 150, 175, 200, 225, 250, 275, 300]



Resultados - Animaciones

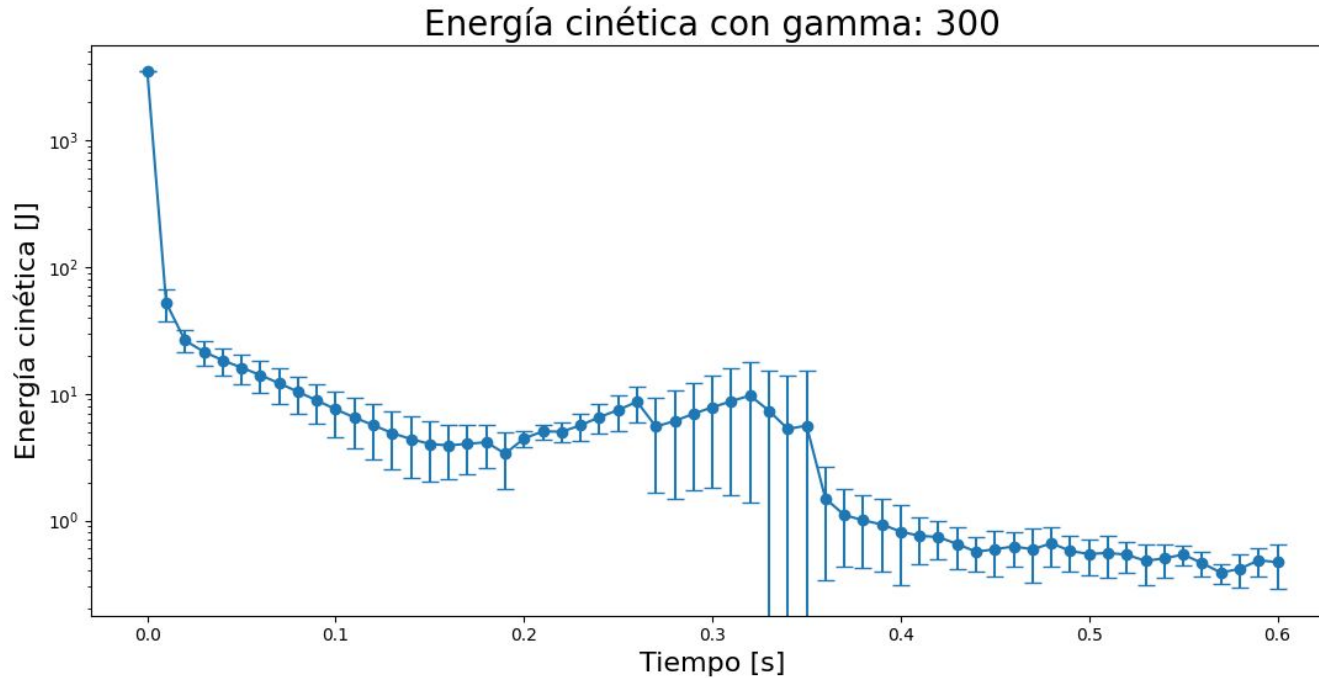
Variación de p_{gamma} = [100, 125, 150, 175, 200, 225, 250, 275, 300]

$p_{\text{gamma}} = 300$



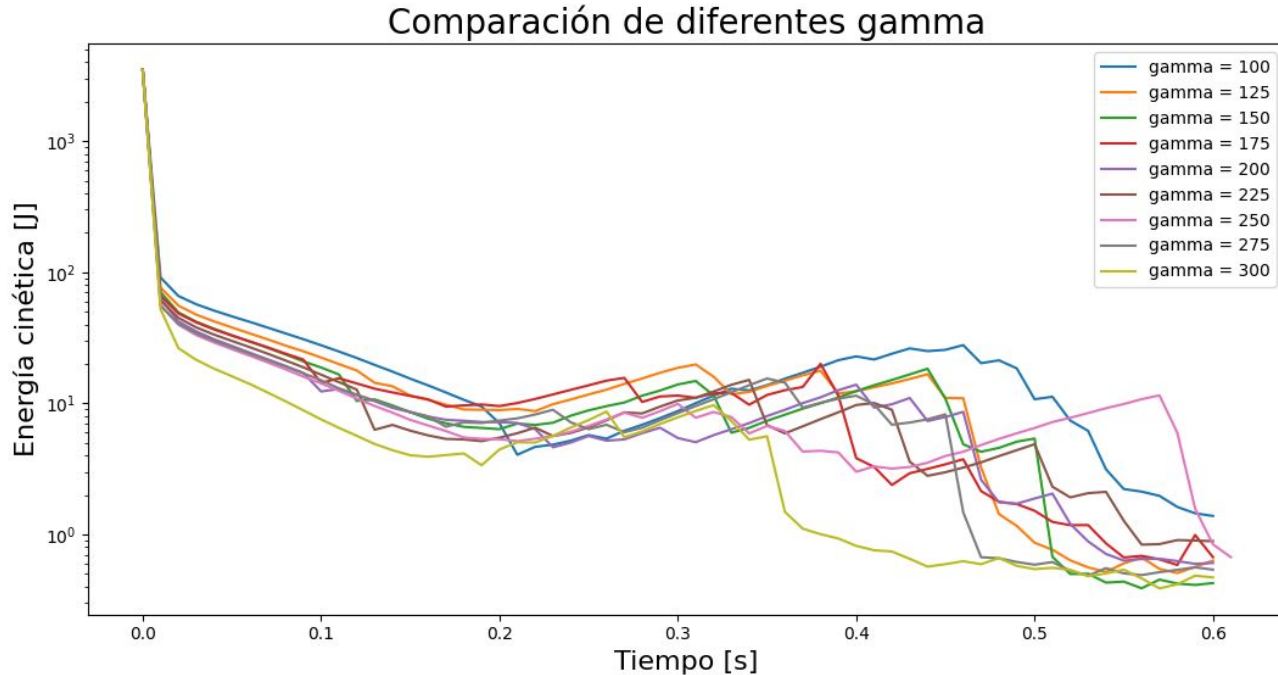
Resultados - Observable

Variación de p_{gamma} = [100, 125, 150, 175, 200, 225, 250, 275, 300]



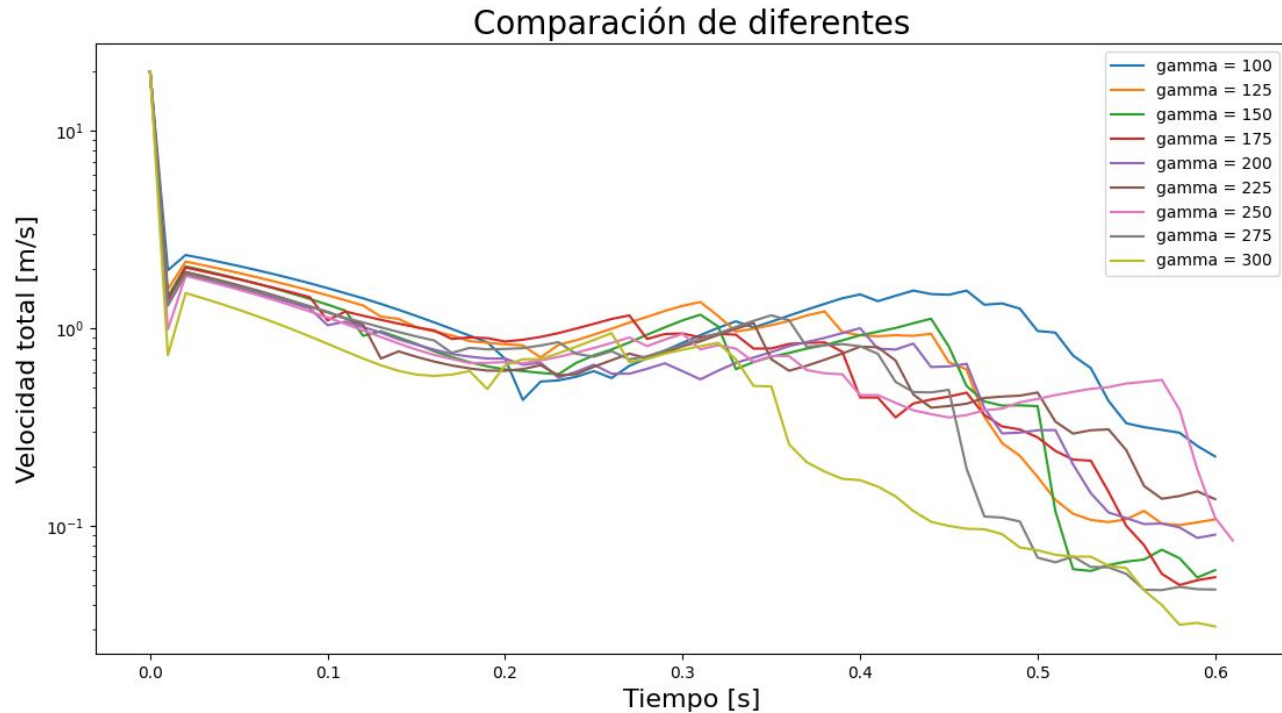
Resultados - Observable

Variación de p_{gamma} = [100, 125, 150, 175, 200, 225, 250, 275, 300]



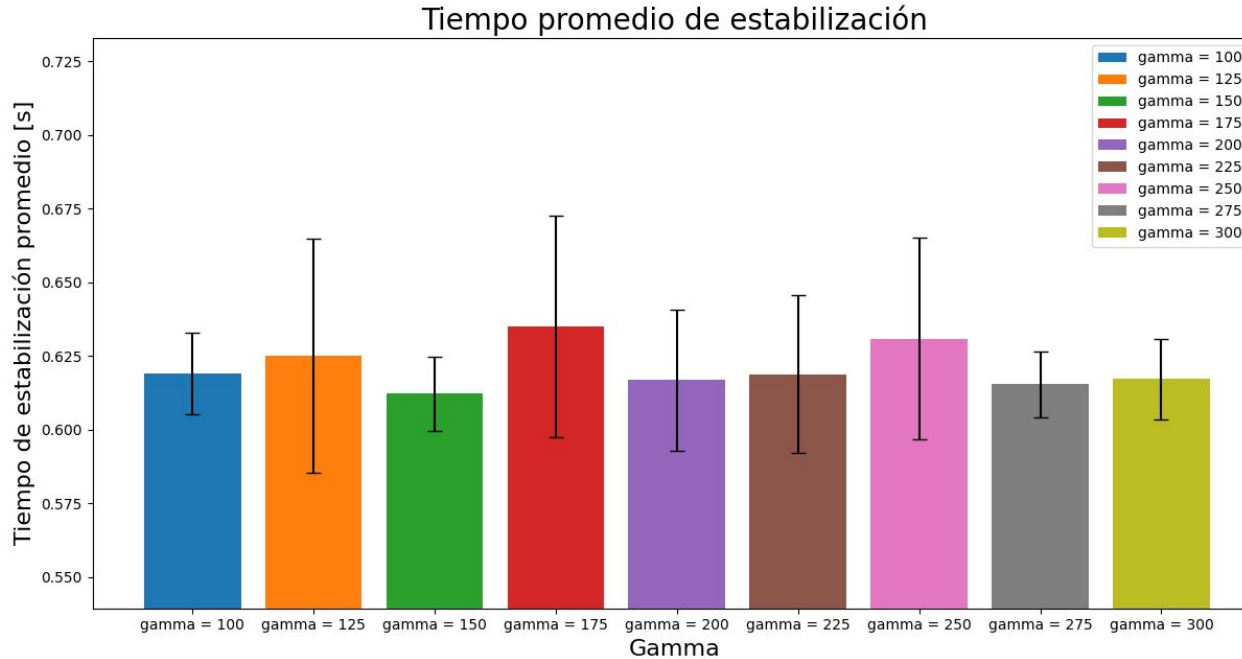
Resultados - Observable

Variación de $p_{\text{gamma}} = [100, 125, 150, 175, 200, 225, 250, 275, 300]$



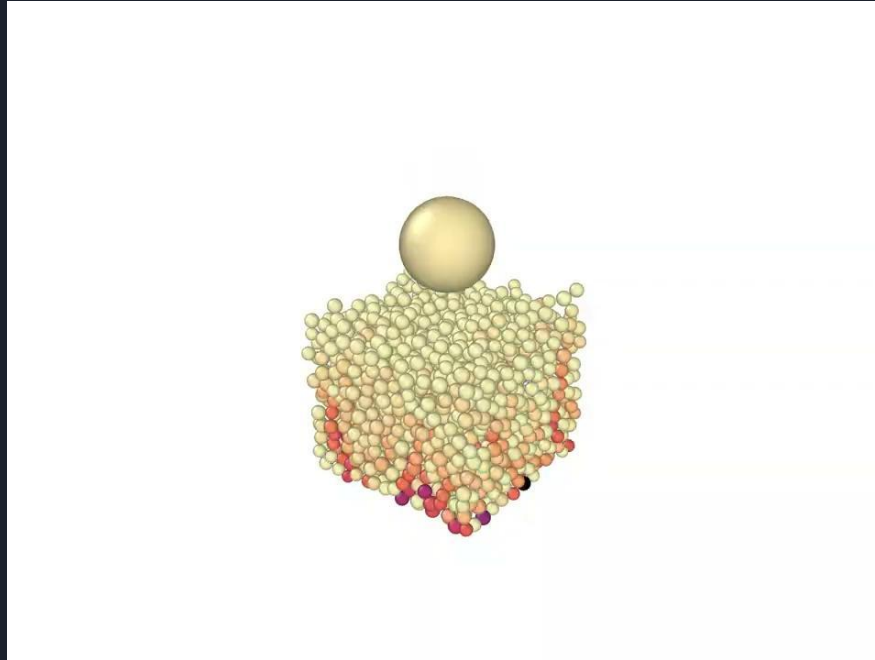
Resultados - Observable

Variación de p_{gamma} = [100, 125, 150, 175, 200, 225, 250, 275, 300]



Resultados - Animaciones

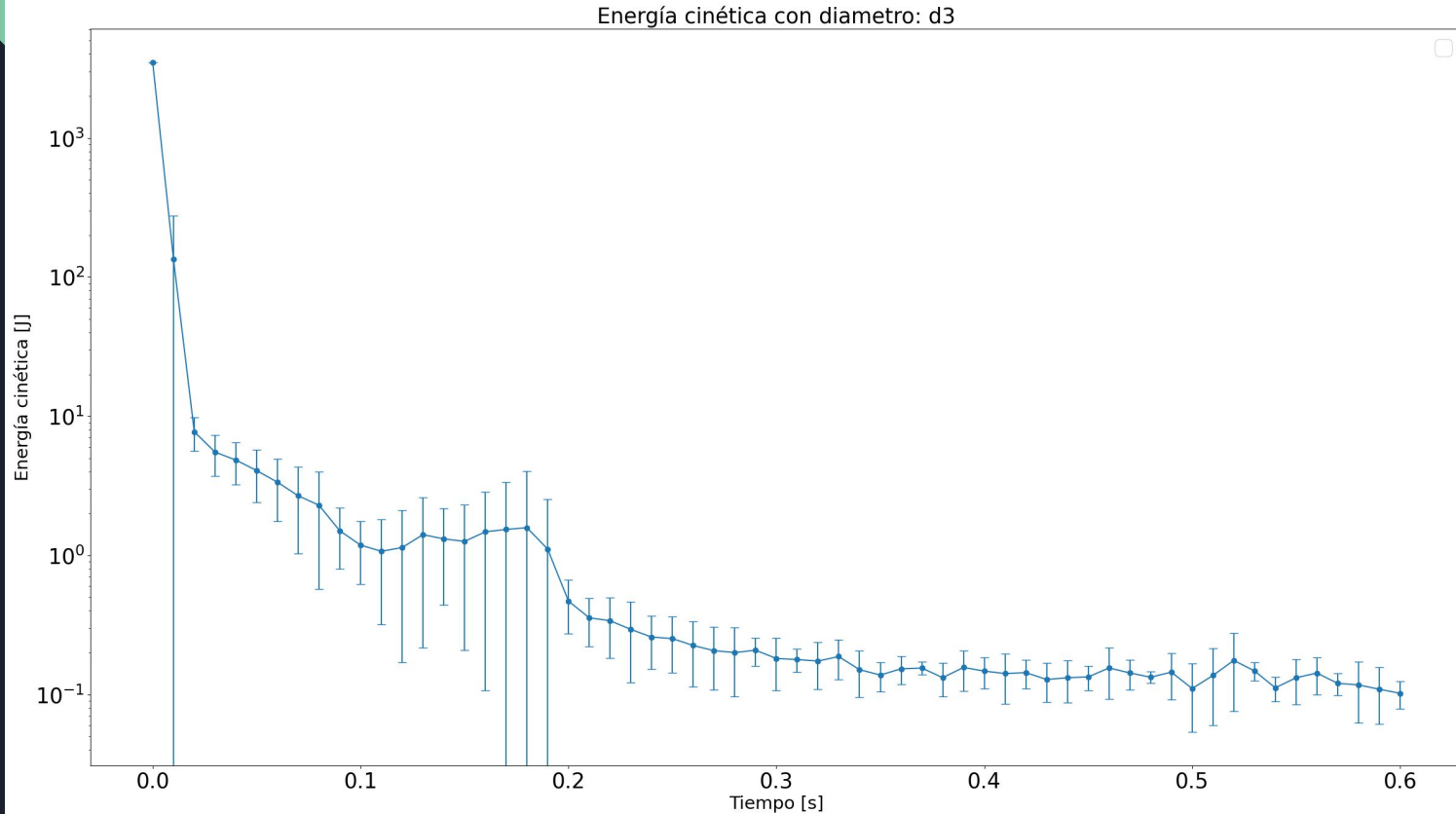
Variación de diámetros, $d_2=[0.02, 0.025]$, $d_3=[0.025, 0.03]$ en mts



$d_3 = [0.025, 0.03]$ metros

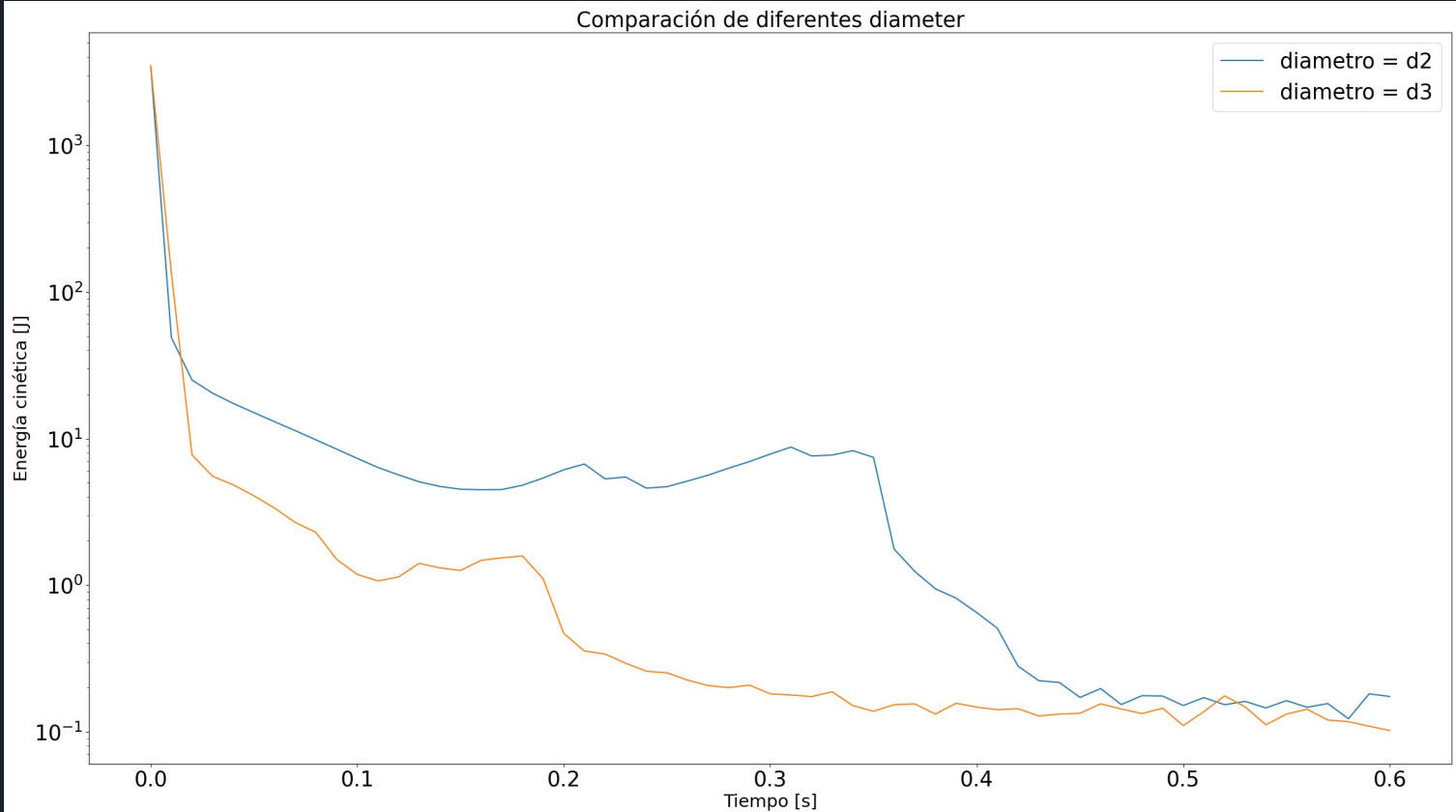
Resultados - Observable

Variación de diámetros, $d_2=[0.02, 0.025]$, $d_3=[0.025, 0.03]$ en mts



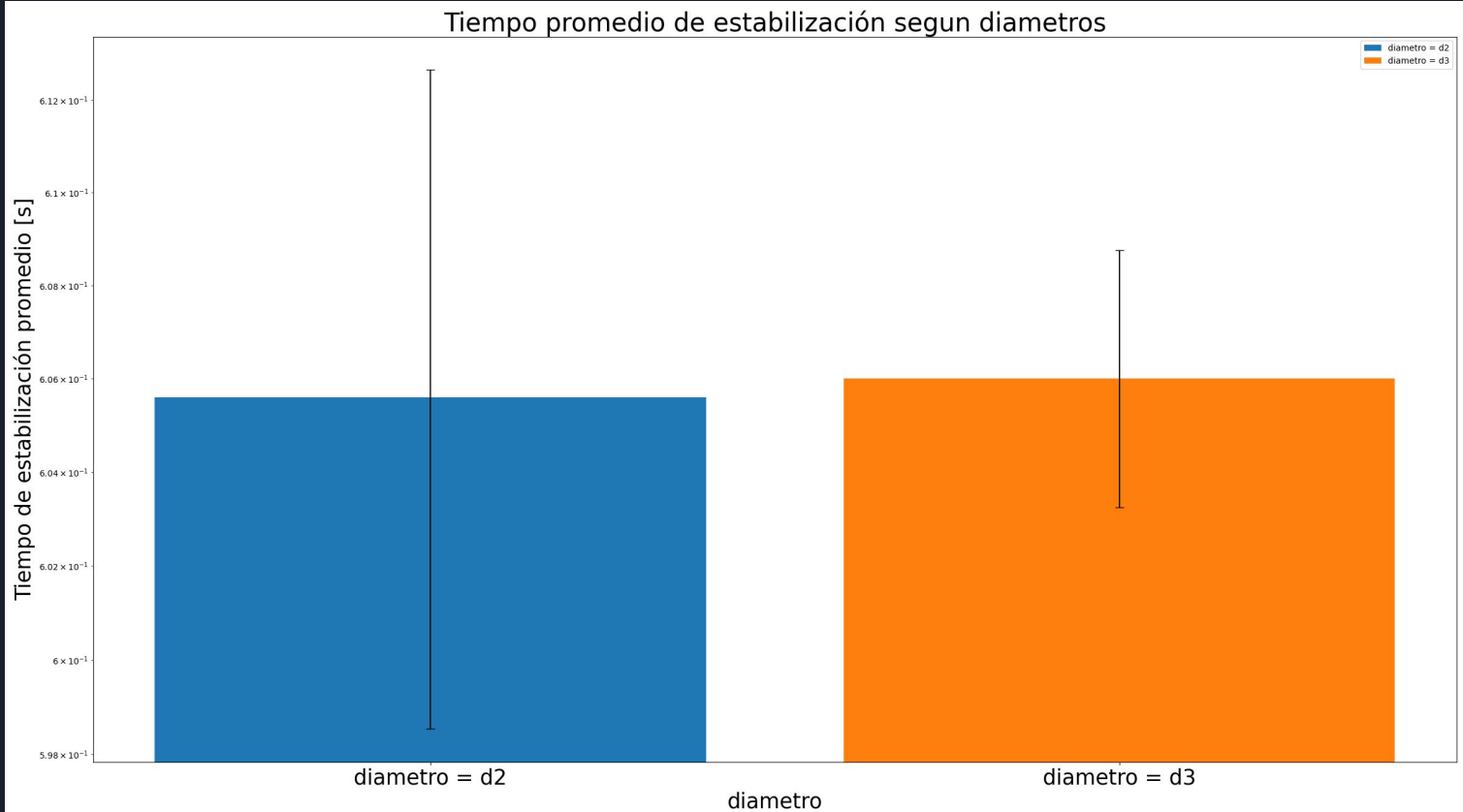
Resultados - Observable

Variación de diámetros, $d2=[0.02, 0.025]$, $d3=[0.025, 0.03]$ en mts



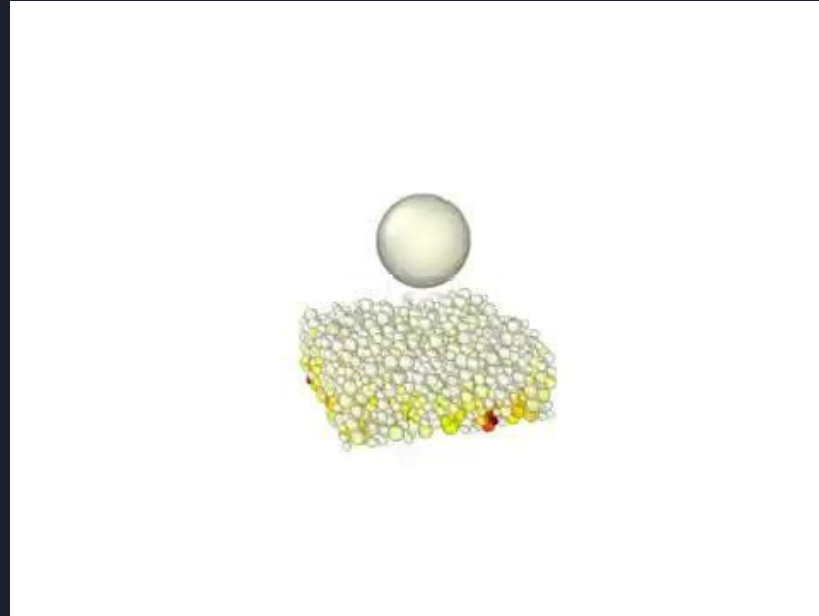
Resultados - Observable

Variación de diámetros, $d2=[0.02, 0.025]$, $d3=[0.025, 0.03]$ en mts



Resultados - Animaciones

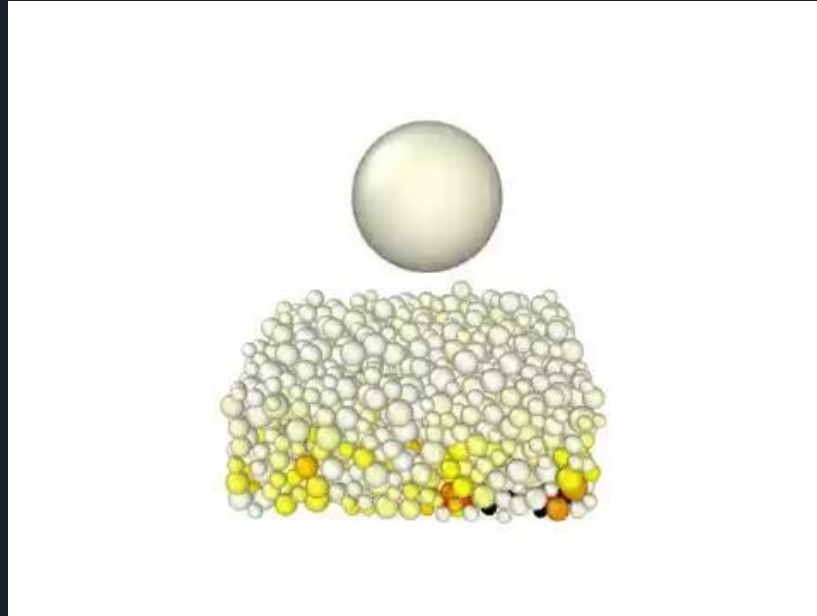
Variación de $\text{ball}_{\text{angle}}$ = [75, 80, 85] en grados



$\text{ball}_{\text{angle}}$ = 80 grados

Resultados - Animaciones

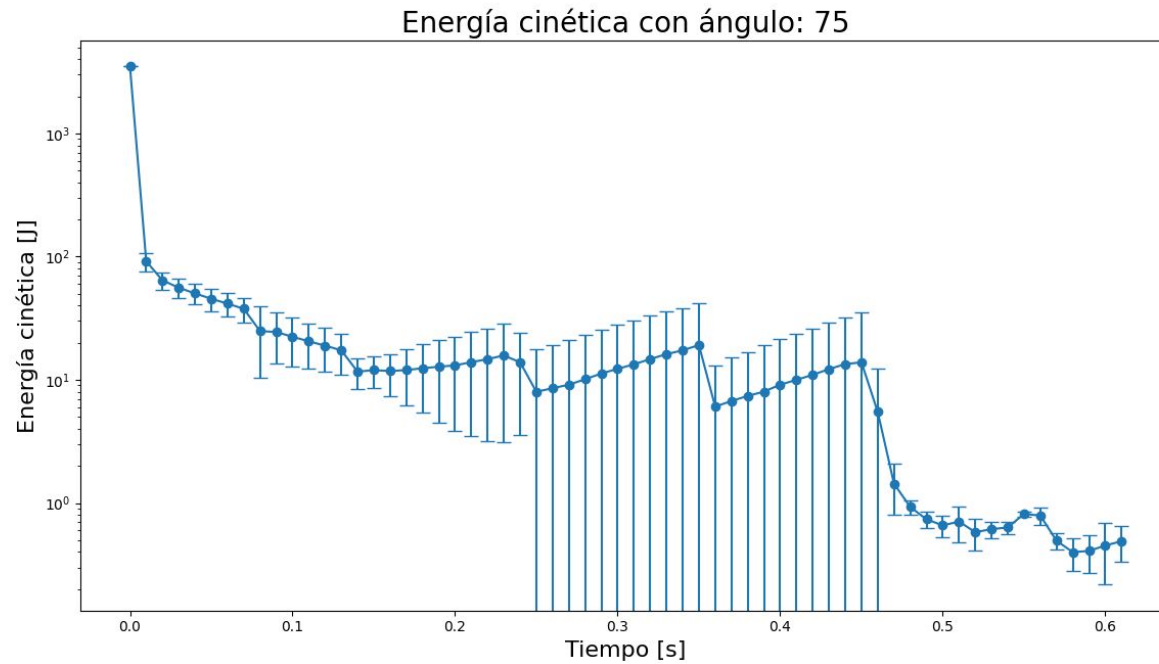
Variación de $\text{ball}_{\text{angle}}$ = [75, 80, 85] en grados



$\text{ball}_{\text{angle}}$ = 75 grados

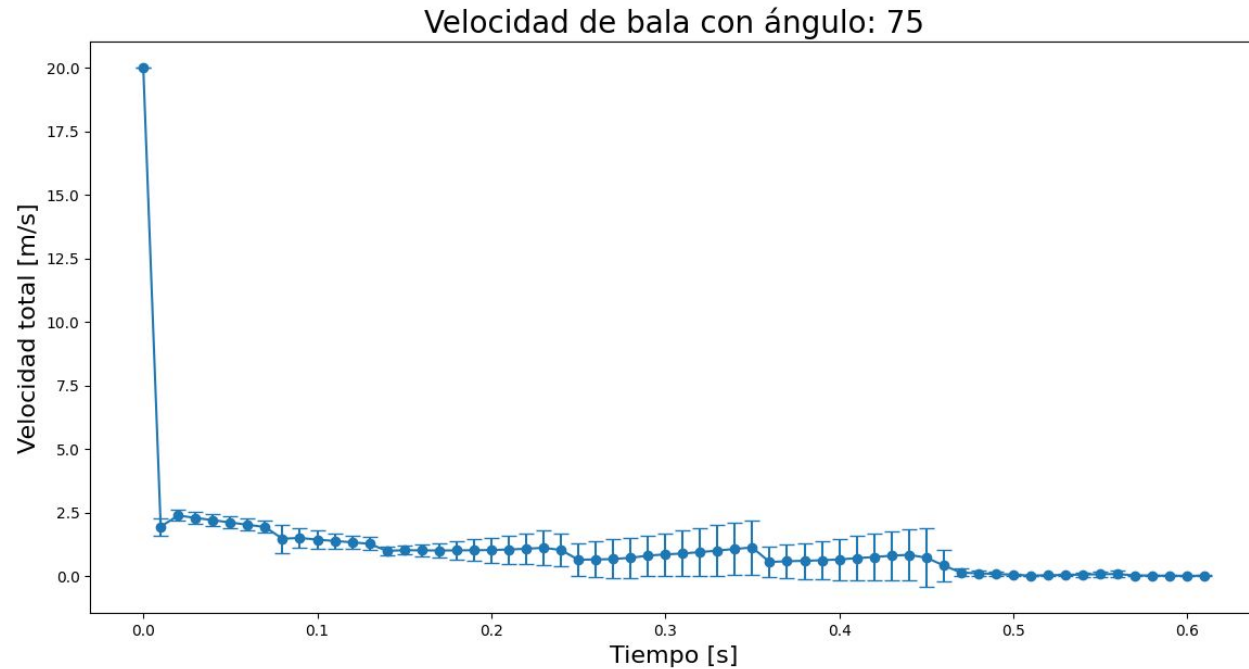
Resultados - Observable

Variación de $\text{ball}_{\text{angle}} = 75$ grados



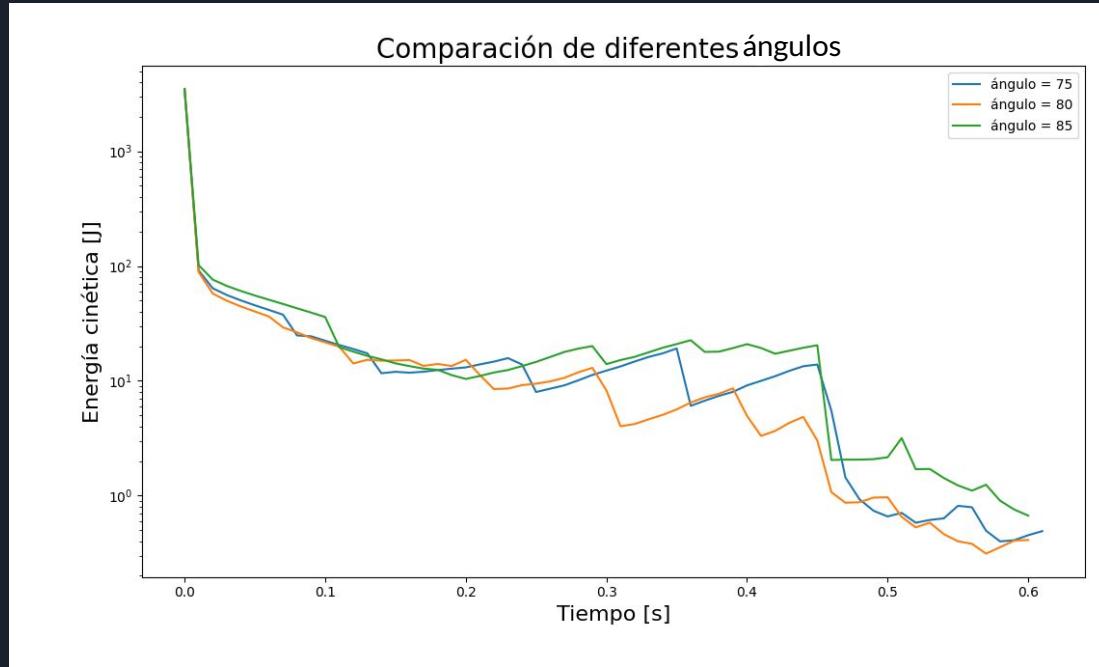
Resultados - Observable

Variación de $\text{ball}_{\text{angle}} = 75$ grados



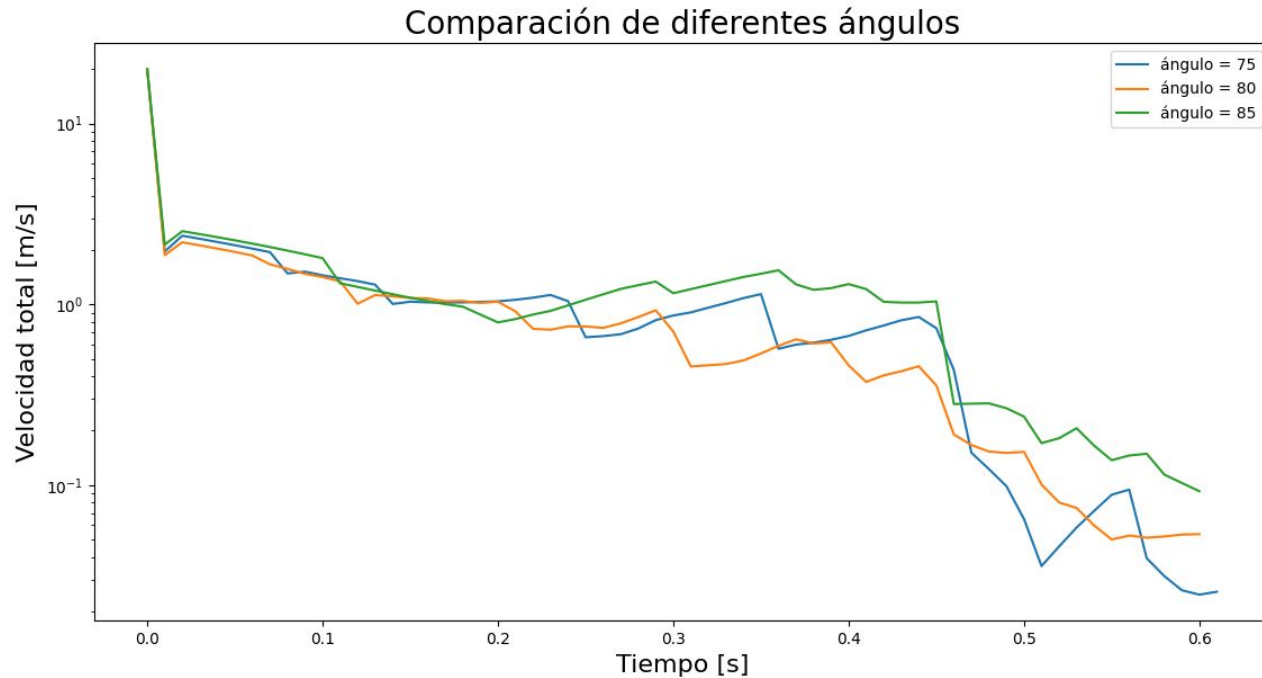
Resultados - Observables

Variación de $\text{ball}_{\text{angle}} = [75, 80, 85]$ en grados



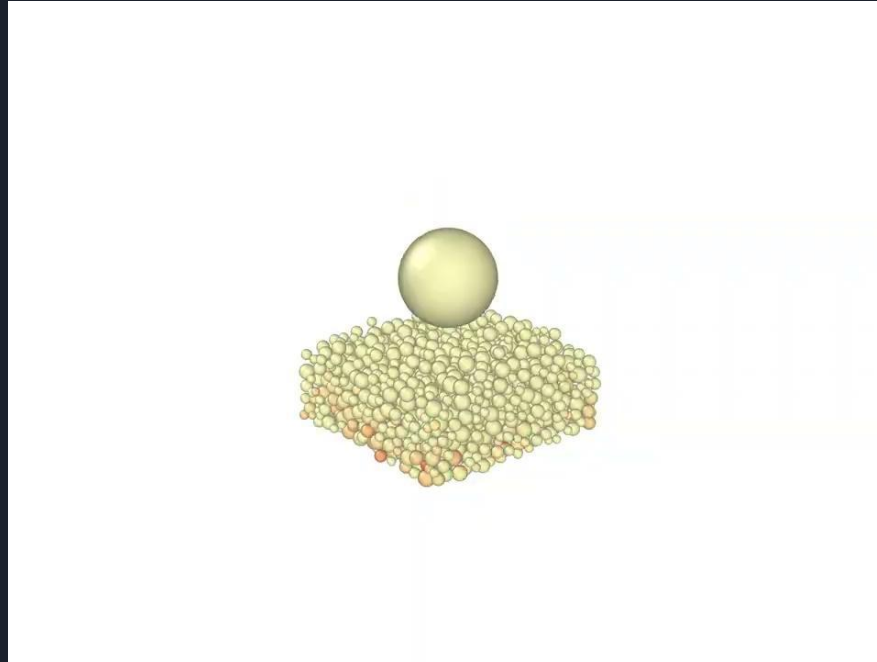
Resultados - Observables

Variación de $\text{ball}_{\text{angle}} = [75, 80, 85]$ en grados



Resultados - Animaciones

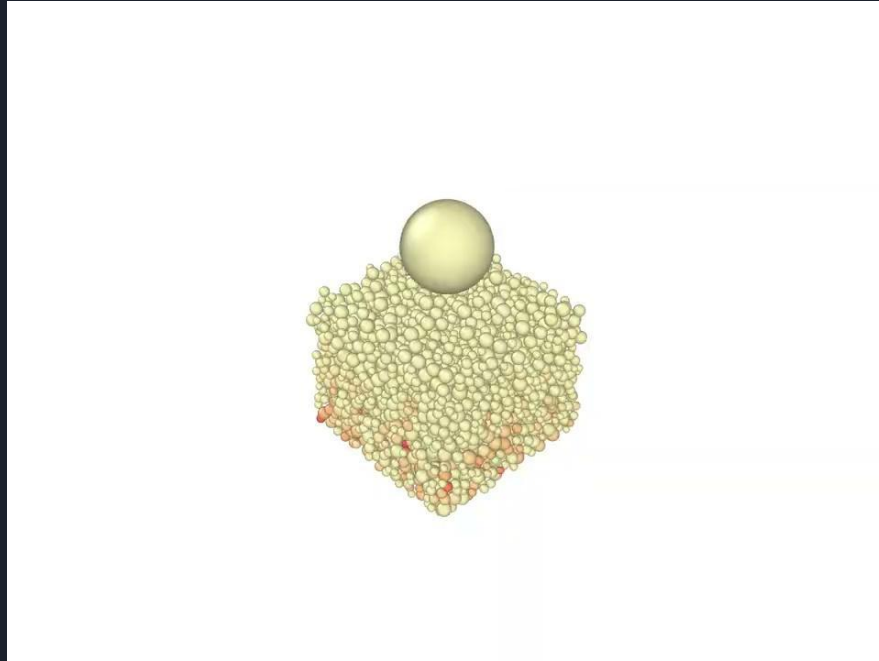
Variación de $n_{\text{particles}}$ = [2000, 3000, 4500]



$n_{\text{particles}}=2000$

Resultados - Animaciones

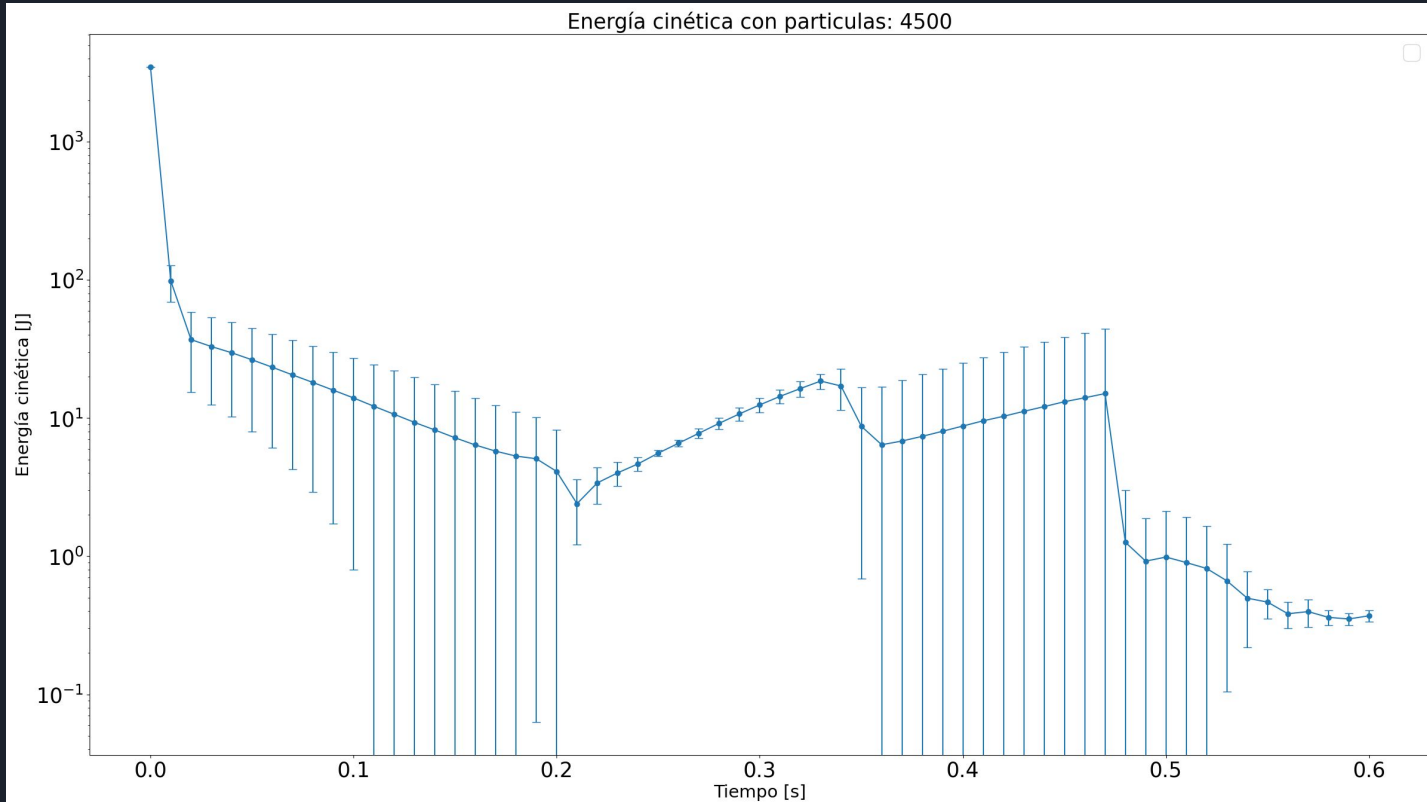
Variación de $n_{\text{particles}}$ = [2000, 3000, 4500]



$n_{\text{particles}} = 4500$

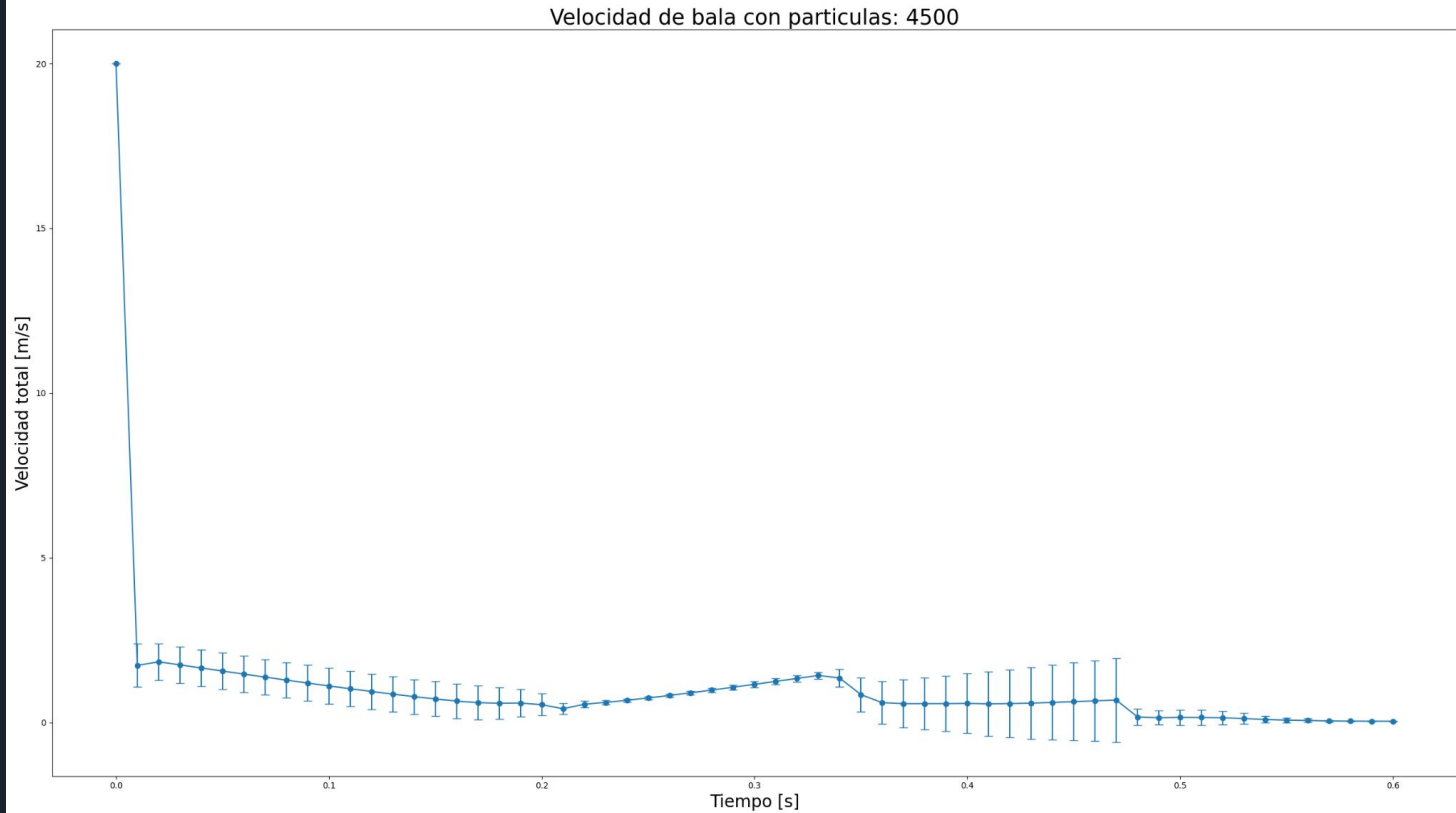
Resultados - Observable

Variación de $n_{\text{particulas}} = [2000, 3000, 4500]$



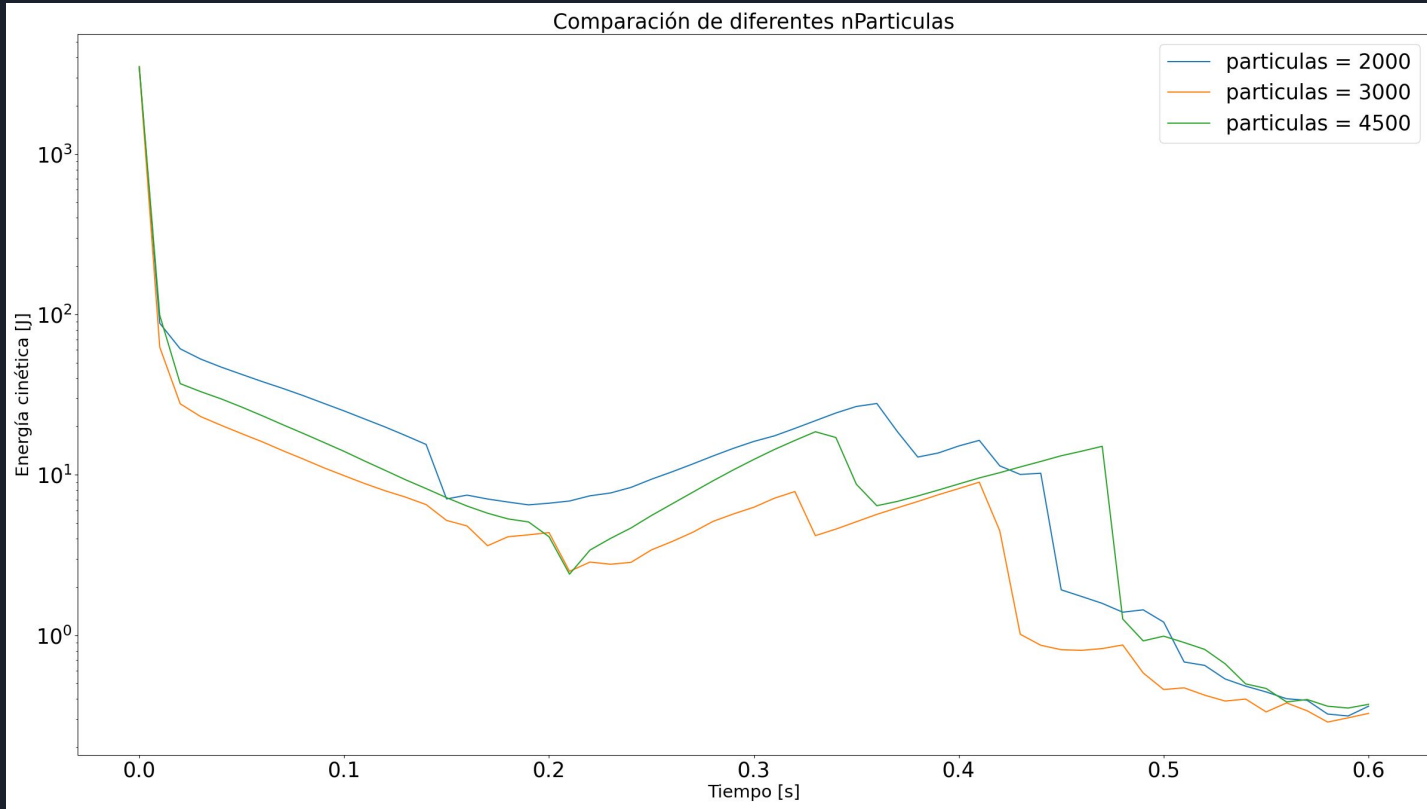
Resultados - Observable

Variación de $n_{\text{particulas}} = [2000, 3000, 4500]$



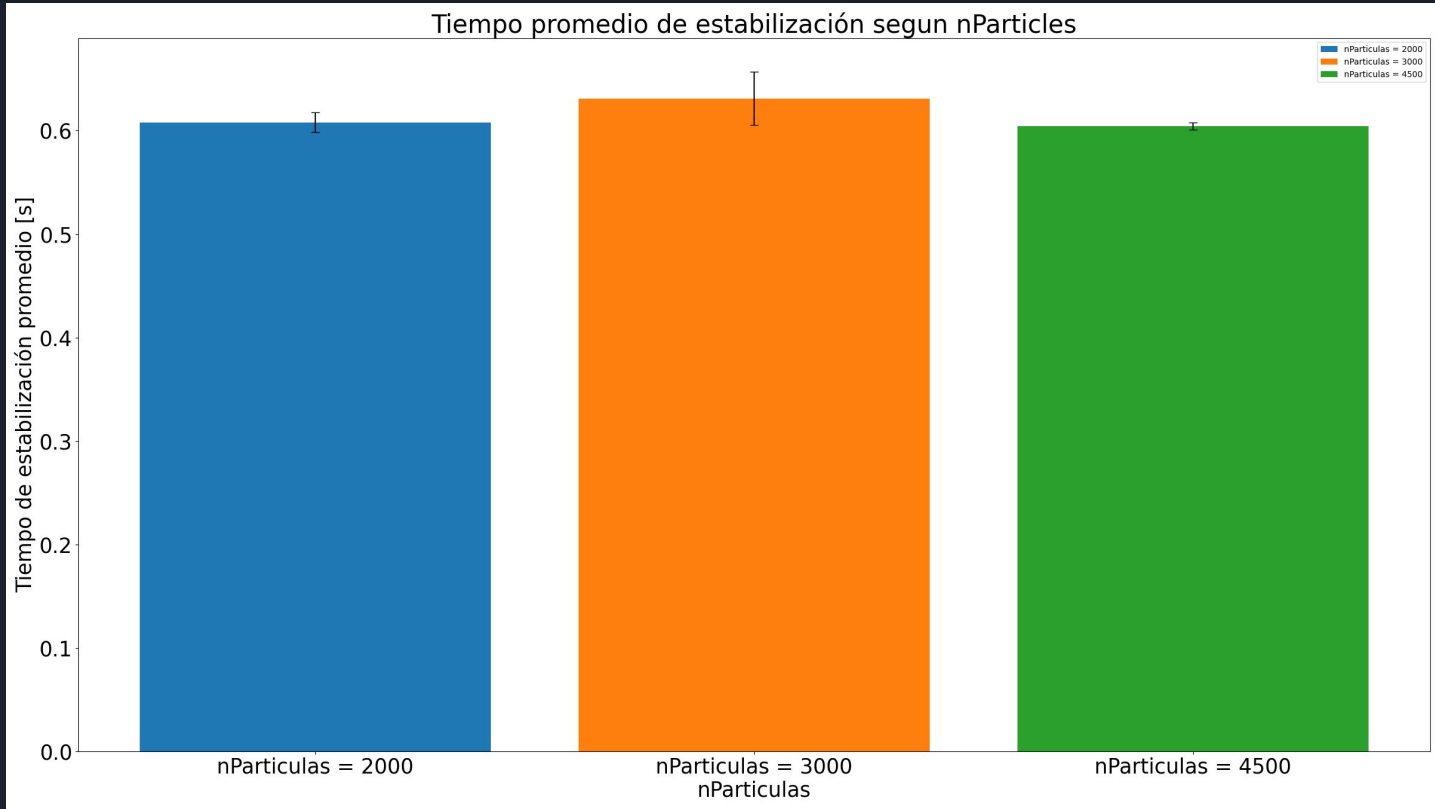
Resultados - Observable

Variación de $n_{\text{particulas}} = [2000, 3000, 4500]$



Resultados - Observable

Variación de $n_{\text{particulas}}$ = [2000, 3000, 4500]





Conclusiones



Conclusiones

- A medida que se aumenta el valor de gamma disminuye la energía cinética del sistema debido a una mayor disipación de energía y también se reduce la velocidad de la bala de cañón.
- Un mayor número de partículas en el sistema, así como también un mayor diámetro de las mismas, disminuye la energía cinética total debido a una mayor probabilidad de colisiones entre las partículas, lo que resulta en transferencias de energía, cambios en la velocidad y dirección de las mismas.
- Cuando el ángulo de caída de una bala es menos perpendicular, se observa un rebote menos energético debido a una mayor componente de movimiento en x y en y, lo que reduce la transferencia de energía cinética durante la colisión.



¡Muchas gracias!